

УДК 681.067

Давыдов Н.А., Пак А.В., Михальчук Н.С., Куприянова В.В. Линеаризация выходных аналоговых сигналов измерительных преобразователей // Научное приборостроение. Л.: Наука, 1987.

Рассматривается метод линеаризации выходных аналоговых сигналов, позволяющий линеаризовать широкий класс функций более простыми аналоговыми устройствами. В основу метода положены нелинейные свойства операций деления и умножения с применением аналогового блока деления-умножения. Библиогр. 7 назв. Ил. 1. Табл. 1.

Н.А.Давыдов, А.В.Пак, Н.С.Михальчук, В.В.Куприянова

ЛИНЕАРИЗАЦИЯ ВЫХОДНЫХ АНАЛОГОВЫХ СИГНАЛОВ ИЗМЕРИТЕЛЬНЫХ ПРЕОБРАЗОВАТЕЛЕЙ

Выходные сигналы первичных преобразователей (ПП) в большинстве случаев являются нелинейными функциями измеряемой величины. Это затрудняет применение таких приборов в системах автоматического контроля и регулирования, так как на вход электронно-вычислительной машины (ЭВМ) подключают преобразователи с различными уровнями и функциональными зависимостями от измеряемого параметра и в ЭВМ необходимо осуществлять вторичное преобразование с целью унификации сигналов. Кроме того, это обуславливает дополнительные погрешности при визуальном считывании информации.

Решение проблемы линеаризации выходных сигналов ПП является в настоящее время одной из актуальных задач приборостроения. Известно несколько способов линеаризации градуировочных характеристик. Наиболее разработанными являются методы линеаризации характеристик преобразователь температуры [1-3]. Рассмотрим некоторые методы.

В работе [1] для линеаризации выходного сигнала мостовой схемы с одним платиновым термометром сопротивления в измерительную диагональ включается платино-платинородмевая термопара, ЭДС которой суммируется с выходным сигналом мостовой схемы. Выбором параметров напряжения питания и величин сопротивлений остальных плеч моста обеспечивается наличие трех точек полного совпадения нелинейной характеристики с линейной в начале, середине и конце диапазона измерений.

Метод линеаризации, описанный в работе [2], основан на включении в схему по отношению к измерительному терморезистору плечо моста схемы компенсирующего терморезистора последовательно с постоянным резистором. Подбором номиналов постоянных резисторов мостовой схемы можно получить три точки полного совпадения. Вариант такого метода предложен в работе [3], где для линеаризации температурной характеристики никелевого термометра сопротивления параллельно ему включен термозависимый резистор.

Широко используются мостовые схемы, в которых сигнал разбаланса моста усилывается с помощью линейного усилителя и затем либо поступает в схему уравновешивания моста (автоматические потенциометры), либо используется для непосредст-

венного измерения температуры [4, 5]. Здесь задача коррекции нелинейности характеристики датчика температуры решается введением в схему моста обратной связи через линейный усилитель в корректирующий терморезистор. Такой способ коррекции дает уменьшение исходной нелинейности характеристики, по мнению авторов работы [4], в 15 раз.

Органическими недостатками всех рассмотренных методов является неуниверсальность их применения и невозможность точной линеаризации характеристик с большой величиной исходной нелинейности. Не случайно наиболее разработаны методы линеаризации характеристик преобразователей температуры, так как они характеризуются малой величиной исходной нелинейности, возможностью использования нелинейных свойств мостовой схемы, большим выбором в подборе компенсирующих термоэлементов.

Известен также универсальный линеаризатор. Разработанный авторами работы [6] универсальный функциональный преобразователь-линеаризатор построен по принципу кусочно-линейной аппроксимации и рассчитан на линеаризацию градуировочных характеристик III. Такой линеаризатор с большой точностью линеаризует широкий класс монотонно меняющихся функций, имеющих не более одного перегиба. Недостатком такого способа является сложность системы выделения участков кривой с последующим введением мультипликативной поправки. Для увеличения точности аппроксимации необходимо учитывать количество участков аппроксимации. Следовательно, надо увеличивать и количество эталонных входных сигналов, соответствующих началу и концу выделяемого участка, что в ряде случаев делает такой способ линеаризации мало доступным. Кроме того, при большом числе участков аппроксимации устройство имеет большие габариты и потребляемую мощность и низкую надежность, что также затрудняет его применение.

В настоящей работе рассматривается метод линеаризации выходных аналоговых сигналов, позволяющий линеаризовать широкий класс функций более простыми аналоговыми устройствами [7]. В основу метода положены нелинейные свойства операций деления и умножения с применением аналогового блока деления-умножения (БДУ).

Рассмотрим два способа линеаризации с применением БДУ. Операции деления и умножения будут применяться к выходным сигналам III, которые представляют нелинейные функции измеряемого параметра. Эти функции и их производные до второй степени должны быть монотонными, что выполняется для широкого класса III. Величину исходной нелинейности δ определим как максимальное отклонение функции от линейной зависимости, соединяющей начальную и конечную точки кривой. Для определения области применения предлагаемого метода и оценки точности линеаризации сигналов в зависимости от величины исходной нелинейности удобно исследовать аналитические функции, которые в большинстве случаев описывают реальные выходные сигналы III.

В качестве исследуемых функций, отвечающих этим условиям, можно взять аналитические функции экспоненциальной и логарифмической зависимостей. Для упрощения анализа исследуемые функции следует пронормировать так, чтобы при изменении аргумента от 0 до 1 функция также менялась от 0 до 1.

Пусть

$$f_1(x) = \alpha (1 - \exp(-\beta x)); \quad (1)$$

$$f_2(x) = \alpha \ln(1 + \beta x), \quad (2)$$

где коэффициенты α и β подбираются в зависимости от исходной нелинейности функции.

Аналитически сущность предлагаемого метода состоит в формировании следующих функций:

$$F_1(x) = \frac{A_1 f(x)}{1 \pm K_1 f(x)}; \quad (3)$$

$$F_2(x) = \frac{A_2 f(x)(1 \pm K'_1 f(x))}{1 \pm K''_2 f(x)}. \quad (4)$$

Функция F_1 имеет три точки пересечения с линейной характеристикой. Для F_2 таких точек будет четыре. Чтобы определить значения величин A_1 , K_1 и A_2 , K'_1 , K''_2 необходимо решить соответствующие системы уравнений, описывающие пересечение построенных функций с линейной зависимостью в выбранных точках полного совпадения:

$$F_i(x_j) = x_j,$$

где $i = 1, 2$, а индекс j соответствует номеру точки совпадения. Обычно эти точки выбирают в начале, в конце диапазона измерения и там, где величина нелинейности максимальна.

Были рассмотрены функции f_1 и f_2 с различной начальной нелинейностью от 10 до 45 % (нелинейность более 50 % означает существование экстремума, что противоречит требованию монотонности функциональной зависимости).

Определялись величины коэффициентов функций (3) и (4) и рассчитывалась погрешность линеаризации – максимальное отклонение (3) или (4) от отого линейной зависимости.

Для обеих функциональных зависимостей f_1 и f_2 были получены примерно одинаковые результаты, которые представлены ниже:

$\delta, \%$	10	25	35	45
$\Delta_1, \%$	0.45	1.6	3.6	7.5
$\Delta_2, \%$	0.06	0.1	0.4	0.6

Здесь Δ_1 – погрешность линеаризации по формуле (3), а Δ_2 – погрешность линеаризации по формуле (4).

Таким образом, из результатов аналитических расчетов видно, что применение формулы (4) на порядок лучше линеаризует кривую. На практике этот метод был использован при измерении концентрации газов для линеаризации выходных характеристик III.

По формуле (3) линеаризовался выходной сигнал первичного преобразователя газоанализатора ТП5502 (рис.1). Нелинейный сигнал U и опорное напряжение U_{op} .

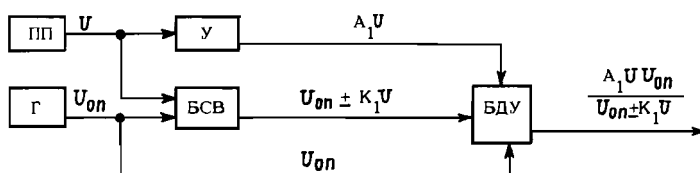


Рис.1. Схема линеаризации по методу "трёх точек полного совпадения".

вырабатываемые ШИ и генератором (Γ), подают на вход блока сложения-вычитания (БСВ). В БСВ формируется сигнал $U_{оп} \pm K_2' U$. Причем величина коэффициентов и знак определяются величиной и знаком нелинейности сигнала U . В результате при исходной $\delta = 24\%$ была получена погрешность линеаризации Δ , не превышающая 1.2 %.

По формуле (4) линеаризовался выходной сигнал газоанализатора на пары воды ЭПНОО1 с электролитическим подогревным чувствительным элементом (рис.2). Здесь

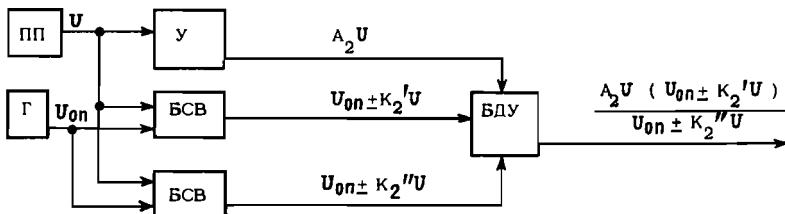


Рис.2. Схема линеаризации по методу "четырех точек полного совпадения".

формируются два опорных сигнала $U_{оп} \pm K_2' U$ и $U_{оп} \pm K_2'' U$, которые подаются на вход БДУ. Начальная нелинейность выходного сигнала преобразователя паров воды составила 32 %. Погрешность линеаризации при этом не превышала 0.5 %.

Таким образом, полученные экспериментальные данные хорошо согласуются с данными анализа. Предлагаемый способ имеет возможность линеаризовать достаточно широкий класс функций с исходной нелинейностью δ до 45 %. Устройство, реализующее данный способ, построено на простых, компактных и надежных аналоговых блоках. В схеме участвует усилитель ($У$). При этом величина нелинейности (погрешности линеаризации) уменьшается в десять и более раз по методу "трех точек полного совпадения" и в пятьдесят и более раз по методу "четырех точек полного совпадения". Преимущества данного способа сохраняются и в случае применения устройств с цифровой обработкой информации, поступающей от ШИ. Линеаризация будет состоять из небольшого числа арифметических операций с использованием одного или двух коэффициентов, что позволит экономить объем памяти, необходимой для хранения программы и коэффициентов.

ЛИТЕРАТУРА

1. Коган В.А.// Измерительная техника. 1971. № 12. С.49-50.
2. Маасей И.// Приборы для научных исследований. 1972. № 8. С.95-96.
3. Лушаев Г.А., Карчков В.А., Фандеев Е.И., Сологан И.Х.// Измерительная техника. 1981. № 6. С.37-40.
4. Захаров Б.А., Менделев Б.А., Фанюшин В.А.// Приборы и системы управления. 1981. № 7. С.14-15.
5. Volk W.T. // Technischen Messen. 1979. Bd 46, NIO. S.375-376, 381-382.
6. Гордин В.И., Кадук Б.Г., Кравченко А.А.// Методы и приборы для анализа состава веществ (Науч.тр.). Киев, 1975. С.109-115.
7. А.о.1061056 СССР.// Б.И. 1983. № 46.